

9-5044
998/43/3

ЭУДХБ

144

64

Том 43, Номер 8

Август 1998

ISSN 0033-8494

РОССИЙСКАЯ АКАДЕМИЯ НАУК

РАДИОТЕХНИКА и ЭЛЕКТРОНИКА

Главный редактор
Ю.В. Гуляев



МАИК "НАУКА"

"НАУКА"

364

ПРИЕМ СЛУЧАЙНОГО ИМПУЛЬСА С НЕИЗВЕСТНЫМИ ВРЕМЕНЕМ ПРИХОДА И ЦЕНТРАЛЬНОЙ ЧАСТОТОЙ СПЕКТРА МОЩНОСТИ

© 1998 г. А. П. Трифонов, В. И. Парфенов

Поступила в редакцию 28.10.96 г.

Выполнен синтез приемника максимального правдоподобия и получены асимптотически точные выражения для характеристик обнаружения и оценки неизвестных времени прихода и центральной частоты спектра мощности случайного импульса.

ВВЕДЕНИЕ

Случайные импульсы часто используются в качестве математических моделей реальных сигналов. Такими моделями могут быть описаны отраженные сигналы в локации (особенно в гидролокации и в системах, использующих сверхширокополосные сигналы), сигналы в спектроскопии и радиоастрономии [1], сигналы, искаженные модулирующей помехой [2]. Кроме того, случайные сигналы могут быть использованы в качестве переносчика информации (несущей), особенно в оптических линиях связи [3] и в гидролокации [4]. При этом не известны часто время прихода и центральная частота спектра мощности принимающего случайного сигнала.

Представим аналогично [1, 5] случайный импульс в виде

$$s(t, \lambda_0, v_0) = f[(t - \lambda_0)/\tau] \xi(t). \quad (1)$$

Здесь $f(x)$ – модулирующая детерминированная функция, нормированная так, что

$$\max f(x) = 1, \quad \int_{-\infty}^{\infty} f^2(x) dx = 1, \quad (2)$$

λ_0 и v_0 – истинные значения времени прихода и центральной частоты спектра мощности, τ – эквивалентная длительность случайного импульса, $\xi(t)$ – реализация стационарного центрированного гауссовского случайного процесса, спектр мощности которого известен с точностью до параметра v :

$$G(\omega, v) = \frac{\gamma}{2} \left[g\left(\frac{v - \omega}{\Omega}\right) + g\left(\frac{v + \omega}{\Omega}\right) \right],$$

где $\Omega = \int_0^\infty G^2(\omega, v) d\omega [\max_\omega G(\omega, v)]^{-2}$ – эквивалентная полоса частот процесса $\xi(t)$, $\gamma = 2 \max_\omega G(\omega, v)$, четная функция $g(\cdot)$ описывает форму спектра мощности и удовлетворяет условиям нормировки вида (2).

Время прихода λ и центральную частоту спектра мощности сигнала v полагаем априори не известными, причем неизвестное время прихода λ принимает значения из априорного интервала $[\lambda_{\min}; \lambda_{\max}]$, а неизвестная центральная частота v принимает значения из априорного интервала $[v_{\min}; v_{\max}]$. Считаем, что импульс (1) наблюдается на фоне гауссовского белого шума $n(t)$ с односторонней спектральной плотностью N_0 . Требуется обнаружить сигнал (1) и оценить его неизвестные параметры λ и v . Для решения задач обнаружения сигнала (1) и оценки его параметров используем метод максимального правдоподобия. Устройство, реализующее этот метод, будем называть приемником максимального правдоподобия (ПМП) [6, 7]. Ниже выполнен синтез такого приемника, найдены асимптотические выражения для характеристик обнаружения случайного импульса и оценки максимального правдоподобия (ОМП) неизвестных параметров λ и v , определены потери в точности обнаружения и оценки вследствие незнания параметров сигнала.

1. ЛОГАРИФМ ФУНКЦИОНАЛА ОТНОШЕНИЯ ПРАВДОПОДОБИЯ И ЕГО СВОЙСТВА

Пусть на вход ПМП в течение интервала времени $[0; T]$ поступает реализация $x(t) = s(t, \lambda_0, v_0) + n(t)$ или $x(t) = n(t)$, причем $s(t, \lambda_0, v_0)$ и $n(t)$ статистически не зависят. По определению ПМП формирует логарифм функционала отношения правдоподобия (ФОП) для всех $\lambda \in [\lambda_{\min}; \lambda_{\max}]$, $v \in [v_{\min}; v_{\max}]$. В общем случае структура ПМП [1, 8] для случайного сигнала (1) довольно сложна с точки зрения технической реализации. В работах [9, 10] приведены упрощенные варианты структуры приемника, однако они достаточно сложны, так как требуют использования фильтров с переменными параметрами. Рассмотрим возможность упрощения выражения для логарифма ФОП при условии, что длительность импульса τ значительно превыша-

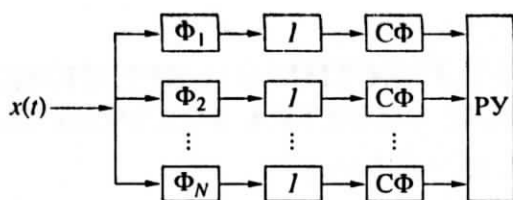


Рис. 1.

ст время корреляции процесса $\xi(t)$, т.е. когда выполняется условие

$$\mu = \tau\Omega/2\pi \gg 1. \quad (3)$$

Тогда в соответствии с [8] логарифм ФОП с точностью до несущественного постоянного слагаемого $-\mu \int_{-\infty}^{\infty} \ln[1 + qg(x)]dx$, $q = \gamma/N_0$, принимает вид

$$M(\lambda, v) = \frac{1}{N_0} \int_0^{\tau} \tilde{y}^2(t, \lambda, v) dt, \quad (4)$$

где

$$\begin{aligned} \tilde{y}(t, \lambda, v) &= \int_{-\infty}^{\infty} x(t_1) h(t - t_1, v) f[(t_1 - \lambda)/\tau] dt_1, \\ h(t, v) &= \int_{-\infty}^{\infty} H(\omega, v) \exp(j\omega t) d\omega / 2\pi, \end{aligned} \quad (5)$$

функция $H(\omega, v)$ определяется из соотношения

$$|H(\omega, v)|^2 = \frac{qg[(\omega - v)/\Omega]}{1 + qg[(\omega - v)/\Omega]} + \frac{qg[(\omega + v)/\Omega]}{1 + qg[(\omega + v)/\Omega]}.$$

Практическая реализация приемника случайного импульса (1) на основе (4) также достаточно сложна, так как такой приемник должен быть многоканальным и по λ , и по v . Однако в соответствии с (3) длительность импульса τ значительно превышает время корреляции случайного процесса $\xi(t)$, а следовательно, и длительность переходных процессов в фильтре с импульсной характеристистикой $h(t, v)$. Поэтому выражение (5) можно переписать в виде $\tilde{y}(t, \lambda, v) = f[(t - \lambda)/\tau]y(t, v)$, где $y(t, v) = \int_{-\infty}^{\infty} x(t_1) h(t - t_1, v) dt_1$ – отклик фильтра с импульсной характеристикой $h(t, v)$ на реализацию наблюдаемых данных $x(t)$. Окончательно выражение для логарифма ФОП принимает вид

$$M(\lambda, v) = \frac{1}{N_0} \int_0^{\tau} f^2[(t - \lambda)/\tau] y^2(t, v) dt. \quad (6)$$

Структурная схема устройства, реализующего алгоритм обнаружения или оценки неизвестных параметров импульса (1) на основе (6), приведена на рис. 1, где Φ_1, \dots, Φ_N – линейные фильтры с им-

пульсными характеристиками $h(t, v_1), \dots, h(t, v_N)$, различающимися лишь центральными частотами полос пропускания v_i , $i = 1, N$, $v_1 = v_{\min}$, $v_N = v_{\max}$; f – квадратор; СФ – фильтр, согласованный с сигналом $f^2(t/\tau)/N_0$; РУ – решающее устройство. На вход РУ подается N сигналов с выходов СФ. При этом РУ определяет величину, положение абсолютного максимума по λ и номер канала, в котором сигнал принимает максимальное значение. При решении задачи обнаружения на основе сравнения полученного абсолютного максимума с порогом с выносится решение о наличии или отсутствии сигнала. При решении задачи оценки параметров λ и v РУ определяет оценки этих параметров по положению абсолютного максимума сигналов на выходах СФ и по номеру канала, в котором достигается этот максимум.

Таким образом, практическая реализация ПМП на основе (6) значительно проще, чем на основе (4), так как в первом случае приемник является многоканальным лишь по одному параметру v , а во втором – сразу по двум параметрам: λ и v .

Аналогично [8] можно показать, что логарифм ФОП (6), когда $\mu \rightarrow \infty$, является асимптотически гауссовским случайным полем. Следовательно, тогда он полностью характеризуется своим средним значением и корреляционной функцией. Для расчета этих моментов при наличии полезного сигнала (1) представим функционал (6) в виде суммы сигнальной и шумовой составляющих [5–7].

Предварительно введем в рассмотрение $\vec{\vartheta} = \|\eta, \kappa\|$ – вектор неизвестных нормированных параметров $\eta = \lambda/\tau$ и $\kappa = v/\Omega$ ($\vec{\vartheta}_0 = \|\eta_0, \kappa_0\|$, $\eta_0 = \lambda_0/\tau$, $\kappa_0 = v_0/\Omega$). Параметры η и κ принимают значения из интервалов $[\eta_{\min}, \eta_{\max}]$ и $[\kappa_{\min}, \kappa_{\max}]$ соответственно, где $\eta_{\min} = \lambda_{\min}/\tau$, $\eta_{\max} = \lambda_{\max}/\tau$, $\kappa_{\min} = v_{\min}/\Omega$, $\kappa_{\max} = v_{\max}/\Omega$. Тогда $M(\vec{\vartheta}) = S_1(\vec{\vartheta}) + N_1(\vec{\vartheta})$, где $S_1(\vec{\vartheta}) = \langle M(\vec{\vartheta}) \rangle$ – сигнальная, $N_1(\vec{\vartheta}) = M(\vec{\vartheta}) - \langle M(\vec{\vartheta}) \rangle$ – шумовая составляющая, а усреднение выполняется при фиксированном $\vec{\vartheta}_0$. Учитывая (3), получим

$$\begin{aligned} S_1(\vec{\vartheta}) &= S_0 + \mu q^2 G_{011}(0, \kappa, \kappa_0) F_{022}(0, \eta, \eta_0), \\ K_{N1}(\vec{\vartheta}_1, \vec{\vartheta}_2) &= \\ &= \langle [M(\vec{\vartheta}_1) - \langle M(\vec{\vartheta}_1) \rangle][M(\vec{\vartheta}_2) - \langle M(\vec{\vartheta}_2) \rangle] \rangle = \\ &= \mu q^2 G_{110}(\kappa_1, \kappa_2, 0) F_{220}(\eta_1, \eta_2, 0) + \\ &+ 2\mu q^3 G_{111}(\kappa_1, \kappa_2, \kappa_0) F_{222}(\eta_1, \eta_2, \eta_0) + \\ &+ \mu q^4 G_{112}(\kappa_1, \kappa_2, \kappa_0) F_{224}(\eta_1, \eta_2, \eta_0). \end{aligned}$$

Здесь

$$S_0 = \mu q G_{010}(0, 0, 0),$$

$$F_{nmk}(\eta_1, \eta_2, \eta_0) = \int_{-\infty}^{\infty} f^n(x - \eta_1) f^m(x - \eta_2) f^k(x - \eta_0) dx,$$

$$\begin{aligned} G_{nmk}(\kappa_1, \kappa_2, \kappa_0) &= \\ &= \int_{-\infty}^{\infty} \frac{g^n(x - \kappa_1) g^m(x - \kappa_2) g^k(x - \kappa_0)}{[1 + qg(x - \kappa_1)]^n [1 + qg(x - \kappa_2)]^m} dx. \end{aligned}$$

Когда полезный сигнал отсутствует в реализации наблюдаемых данных, для (6) выполняются соотношения

$$\langle M(\vec{\vartheta}) \rangle = S_0,$$

$$\begin{aligned} \langle [M(\vec{\vartheta}_1) - \langle M(\vec{\vartheta}_1) \rangle] [M(\vec{\vartheta}_2) - \langle M(\vec{\vartheta}_2) \rangle] \rangle &= \\ &= K_{N0}(\vec{\vartheta}_1, \vec{\vartheta}_2) = \mu q^2 G_{110}(\kappa_1, \kappa_2, 0) F_{220}(\eta_1, \eta_2, 0). \end{aligned} \quad (7)$$

2. ОБНАРУЖЕНИЕ СЛУЧАЙНОГО ИМПУЛЬСА

Определим вероятности ошибок 1-го рода α (ложной тревоги) и 2-го рода β (пропуска сигнала) [6]. Полагаем вначале, что полезный сигнал отсутствует. Согласно (3) и (7), логарифм ФОП является реализацией однородного асимптотически гауссовского случайного поля с математическим ожиданием S_0 и коэффициентом корреляции

$$\begin{aligned} R_{N0}(\vec{\vartheta}_1, \vec{\vartheta}_2) &= K_{N0}(\vec{\vartheta}_1, \vec{\vartheta}_2) / \sigma_0^2 = \\ &= \frac{G_{110}(\kappa_1, \kappa_2, 0) F_{220}(\eta_1, \eta_2, 0)}{G_{020}(0, 0, 0) F_{004}(0, 0, 0)}, \end{aligned} \quad (8)$$

где $\sigma_0^2 = \mu q^2 G_{020}(0, 0, 0) F_{004}(0, 0, 0)$ – дисперсия логарифма ФОП (6). Из формулы (8) и свойств функций $f(\cdot)$ и $g(\cdot)$ (2) следует, что $R_{N0}(\vec{\vartheta}_1, \vec{\vartheta}_2) = R_{N0}(\vec{\vartheta}_1 - \vec{\vartheta}_2) \rightarrow 0$ при $|\vec{\vartheta}_1 - \vec{\vartheta}_2| \rightarrow \infty$. Следовательно, в соответствии с [6] асимптотически точное выражение для вероятности ложной тревоги можно записать в виде

$$\begin{aligned} \alpha &= P\{\max M(\vec{\vartheta}) > c, \vec{\vartheta} \in \Theta\} = \\ &= 1 - I(u - 1) \exp[-\xi u \exp(-u^2/2)/(2\pi)^{3/2}], \end{aligned} \quad (9)$$

где $I(x) = 1$ при $x \geq 0$ и $I(x) = 0$ при $x < 0$; $u = (c - S_0)/\sigma_0$, $\Theta = [\eta_{\min}; \eta_{\max}] \times [\kappa_{\min}; \kappa_{\max}]$ – область возмож-

ных значений нормированных неизвестных параметров $\vec{\vartheta} = \|\eta, \kappa\|$,

$$\begin{aligned} \xi &= m_\eta m_\kappa \left\{ \partial^2 R_{N0}(\vec{\vartheta}_1, \vec{\vartheta}_2) / \partial \eta_1 \partial \eta_2 \right|_{\vec{\vartheta}_0} \times \\ &\quad \times \partial^2 R_{N0}(\vec{\vartheta}_1, \vec{\vartheta}_2) / \partial \kappa_1 \partial \kappa_2 \Big|_{\vec{\vartheta}_0} \right\}^{1/2} = \\ &= 2m_\eta m_\kappa \{ \Phi_{11} \Psi_{012} / F_{004}(0, 0, 0) G_{020}(0, 0, 0) \}^{1/2}, \\ m_\eta &= (\lambda_{\max} - \lambda_{\min})/\tau, \quad m_\kappa = (v_{\max} - v_{\min})/\Omega, \\ \varphi_{kn} &= \int_{-\infty}^{\infty} \left(\frac{df(x)}{dx} \right)^{2k} f^{2n}(x) dx, \\ \Psi_{mn} &= \int_{-\infty}^{\infty} \frac{g^m(x) (dg(x)/dx)^{2k}}{[1 + qg(x)]^{2n}} dx. \end{aligned} \quad (10)$$

Параметр ξ (10) характеризует число различных значений неизвестных параметров в области Θ , который аналогично [6] будем называть приведенным объемом априорной области Θ . Параметры m_η и m_κ определяют число сигналов, которые могут быть размещены в интервале времени $[\lambda_{\min}; \lambda_{\max}]$ и в полосе частот $[v_{\min}; v_{\max}]$ соответственно. Отметим, что точность приближенной формулы (9) возрастает с увеличением u , ξ и μ . При этом чем меньшие значения принимает вероятность ложной тревоги (9), тем больше должен быть параметр μ (3). Последнее необходимо для обеспечения достаточной точности гауссской аппроксимации распределения логарифма ФОП (6).

Полагаем теперь, что полезный сигнал (1) присутствует на входе ПМП. Тогда вероятность пропуска

$$\beta = P\{\max_{\vec{\vartheta} \in \Theta} M(\vec{\vartheta}) < c\} = P\{\max_{\vec{\vartheta} \in \Theta} M(\vec{\vartheta}) < c\}. \quad (11)$$

Полагая, что выходное отношение сигнал/шум

$$\begin{aligned} z^2 &= [S_1(\vec{\vartheta}_0) - S_0]^2 / \sigma_1^2(\vec{\vartheta}_0) = \\ &= \mu q^2 [G_{011}(0, 0, 0) F_{004}(0, 0, 0)]^2 \times \\ &\quad \times \{ G_{020}(0, 0, 0) F_{004}(0, 0, 0) + \\ &\quad + 2q G_{021}(0, 0, 0) F_{006}(0, 0, 0) + \\ &\quad + q^2 G_{022}(0, 0, 0) F_{008}(0, 0, 0) \}^{-1} \end{aligned}$$

достаточно велико, можно получить аналогично [6] приближенное выражение для (11):

$$\beta = I(u-1) \exp[-\xi u \exp(-u^2/2)/(2\pi)^{3/2}] \sigma_1(\vec{\vartheta}_0) \times \times \int_{-\infty}^{fu-z} \exp[-\sigma_1^2(\vec{\vartheta}_0)/2 - x\sigma_1(\vec{\vartheta}_0)] \Phi[x - \sigma_1(\vec{\vartheta}_0)] dx. \quad (12)$$

Здесь

$$\begin{aligned} \sigma_1^2(\vec{\vartheta}_0) &= K_{N1}(\vec{\vartheta}_0, \vec{\vartheta}_0) = \\ &= \mu q^2 G_{020}(0, 0, 0) F_{004}(0, 0, 0) + \\ &+ 2\mu q^3 G_{021}(0, 0, 0) F_{006}(0, 0, 0) + \\ &+ \mu q^4 G_{022}(0, 0, 0) F_{008}(0, 0, 0), \\ f^2 &= \sigma_0^2/\sigma_1^2(\vec{\vartheta}_0) = G_{020}(0, 0, 0) F_{004}(0, 0, 0) \times \\ &\times \{G_{020}(0, 0, 0) F_{004}(0, 0, 0) + \\ &+ 2qG_{021}(0, 0, 0) F_{006}(0, 0, 0) + \\ &+ q^2 G_{022}(0, 0, 0) F_{008}(0, 0, 0)\}^{-1}, \\ \Phi(x) &= \int_{-\infty}^x \exp(-t^2/2) dt / \sqrt{2\pi}. \end{aligned}$$

Точность формулы (12) возрастает с увеличением μ , u , ξ и z . При этом чем меньшие значения принимает вероятность пропуска сигнала β (12), тем больше должен быть параметр μ . Отметим также, что в рассматриваемом приближении вероятность пропуска случайного импульса не зависит от истинного значения неизвестного векторного параметра $\vec{\vartheta}_0$.

Рассмотрим, как влияет факт незнания параметров η и κ импульса (1) на эффективность его обнаружения. Для этого сравним полученные характеристики (9), (12) с соответствующими характеристиками обнаружения сигнала с априори известными параметрами [8]:

$$\alpha_0 = 1 - \Phi(u), \quad \beta_0 = \Phi(fu - z). \quad (13)$$

Аналитическое сравнение характеристик (9), (12) и (13) удается осуществить лишь в случае, когда вероятность ложной тревоги мала ($\alpha \leq 0.1$), а отношение сигнал/шум z достаточно велико. Полагая в (9), (12) и (13) $u \gg 1$ и $z \gg 1$, получаем $\beta = \beta_0$, $\alpha/\alpha_0 = \xi u^2/2\pi$. Следовательно, относительные потери в эффективности обнаружения импульса (1) с неизвестными временем прихода и центральной частотой спектра мощности возрастают с увеличением приведенного объема ξ (10) и с уменьшением требуемого уровня вероятности ложной тревоги, так как $\alpha \rightarrow 0$ при $u \rightarrow \infty$.

3. ОЦЕНКА ВРЕМЕНИ ПРИХОДА И ЦЕНТРАЛЬНОЙ ЧАСТОТЫ СПЕКТРА МОЩНОСТИ ИМПУЛЬСА

В соответствии с определением [7] оценка максимального правдоподобия $\vec{\vartheta}_m$ неизвестных параметров импульса определяется как положение абсолютного максимума логарифма ФОП (6), т.е. $\vec{\vartheta}_m = \arg \sup M(\vec{\vartheta})$, $\vec{\vartheta} \in \Theta$. Точность оценки $\vec{\vartheta}_m$ будем характеризовать вектором условных смещений $\vec{d}(\vec{\vartheta}_m | \vec{\vartheta}_0) = (\vec{\vartheta}_m - \vec{\vartheta}_0 | \vec{\vartheta}_0)$ и матрицей условных рассеяний ОМП (вторых начальных моментов ошибок оценок) $\mathbf{V}(\vec{\vartheta}_m | \vec{\vartheta}_0) = ((\vec{\vartheta}_m - \vec{\vartheta}_0)^T (\vec{\vartheta}_m - \vec{\vartheta}_0) | \vec{\vartheta}_0)$, где T – операция транспонирования. Эти характеристики с учетом аномальных ошибок можно записать в виде

$$\begin{aligned} \vec{d}(\vec{\vartheta}_m | \vec{\vartheta}_0) &= P_0 \vec{d}_0(\vec{\vartheta}_m | \vec{\vartheta}_0) + (1 - P_0) \vec{d}_a(\vec{\vartheta}_m | \vec{\vartheta}_0), \\ \mathbf{V}(\vec{\vartheta}_m | \vec{\vartheta}_0) &= P_0 \mathbf{V}_0(\vec{\vartheta}_m | \vec{\vartheta}_0) + (1 - P_0) \mathbf{V}_a(\vec{\vartheta}_m | \vec{\vartheta}_0), \end{aligned} \quad (14)$$

где P_0 – вероятность надежной оценки; \vec{d}_0 , \mathbf{V}_0 и \vec{d}_a , \mathbf{V}_a – векторы смещений и матрицы рассеяний ОМП соответственно для нормальных и аномальных ошибок [7]. Согласно [7] получаем

$$\vec{d}_0(\vec{\vartheta}_m | \vec{\vartheta}_0) = 0, \quad \vec{d}_a(\vec{\vartheta}_m | \vec{\vartheta}_0) = \|d_{ai}\|, \quad i = 1, 2,$$

$$d_{a1} = -\eta_0 + (\eta_{\min} + \eta_{\max})/2,$$

$$d_{a2} = -\kappa_0 + (\kappa_{\min} + \kappa_{\max})/2,$$

$$\mathbf{V}_0(\vec{\vartheta}_m | \vec{\vartheta}_0) = \mathbf{V}_0 = \begin{vmatrix} D_\eta & 0 \\ 0 & D_\kappa \end{vmatrix},$$

$$D_\eta = \frac{\partial^2 K_{N1}(\vec{\vartheta}_1, \vec{\vartheta}_2) / \partial \eta_1 \partial \eta_2}{[d^2 S_1(\vec{\vartheta}) / d\eta^2]^2} \Bigg|_{\vec{\vartheta}_0} = \{G_{020}(0, 0, 0) \phi_{11} +$$

$$+ 2qG_{021}(0, 0, 0) \phi_{12} + q^2 G_{022}(0, 0, 0) \phi_{13}\} \times \quad (15)$$

$$\times \{4\mu q^2 [G_{011}(0, 0, 0) \phi_{11}]^2\}^{-1},$$

$$D_\kappa = \frac{\partial^2 K_{N1}(\vec{\vartheta}_1, \vec{\vartheta}_2) / \partial \kappa_1 \partial \kappa_2}{[d^2 S_1(\vec{\vartheta}) / d\kappa^2]^2} \Bigg|_{\vec{\vartheta}_0} = \{F_{004}(0, 0, 0) \Psi_{012} +$$

$$+ 2qF_{006}(0, 0, 0) \Psi_{112} + q^2 F_{008}(0, 0, 0) \Psi_{212}\} \times \quad (16)$$

$$\times \{\mu q^2 [F_{004}(0, 0, 0) \Psi_{011}]^2\}^{-1},$$

$$\mathbf{V}_a(\vec{\vartheta}_m | \vec{\vartheta}_0) = \begin{vmatrix} V_{11} & V_{12} \\ V_{12} & V_{22} \end{vmatrix},$$

$$V_{11} = (\eta_{\min}^2 + \eta_{\min}\eta_{\max} + \eta_{\max}^2)/3 + \eta_0^2 - \eta_0(\eta_{\min} + \eta_{\max}),$$

$$V_{22} = (\kappa_{\min}^2 + \kappa_{\min}\kappa_{\max} + \kappa_{\max}^2)/3 + \kappa_0^2 - \kappa_0(\kappa_{\min} + \kappa_{\max}),$$

$$V_{12} = \eta_0\kappa_0 - \eta_0(\kappa_{\min} + \kappa_{\max})/2 - \kappa_0(\eta_{\min} + \eta_{\max})/2 + (\eta_{\min} + \eta_{\max})(\kappa_{\min} + \kappa_{\max})/4.$$

Вероятность надежной оценки P_0 при $\xi \gg 1$ можно записать согласно [7] в виде

$$P_0 = \frac{f}{\sqrt{2\pi}} \times \times \int_1^\infty \exp \left\{ -\frac{\xi}{(2\pi)^{3/2}} x \exp \left(-\frac{x^2}{2} \right) - \frac{1}{2}(fx - z)^2 \right\} dx. \quad (17)$$

Из формулы (17) следует, что в рассматриваемом случае вероятность надежной оценки P_0 не зависит от истинного значения параметров $\vec{\vartheta}_0$. Это позволяет достаточно легко найти безусловные характеристики ОМП, если считать, что параметры η и κ априори статистически не зависимы и распределены равномерно на априорных интервалах $[\eta_{\min}; \eta_{\max}]$ и $[\kappa_{\min}; \kappa_{\max}]$ соответственно.

В таком случае, усредняя (14) по параметрам $\vec{\vartheta}_0$, получаем вектор безусловных смещений и матрицу безусловных рассеяний $\vec{d}(\vec{\vartheta}_m) = 0$, $\mathbf{V}(\vec{\vartheta}_m) = P_0 \mathbf{V}_0 + (1 - P_0) \mathbf{V}_a(\vec{\vartheta}_m)$, где $\mathbf{V}_a(\vec{\vartheta}_m)$ – диагональная матрица (2×2) с элементами $m_\eta^2/6$ и $m_\kappa^2/6$. Таким образом, ОМП параметров η и κ безусловно несмещенные и некоррелированные, а безусловные рассеяния совместных оценок параметров η и κ имеют вид

$$\begin{aligned} V_\eta &= P_0 D_\eta + (1 - P_0) m_\eta^2 / 6, \\ V_\kappa &= P_0 D_\kappa + (1 - P_0) m_\kappa^2 / 6, \end{aligned} \quad (18)$$

где D_η и D_κ могут быть рассчитаны по формулам (15), (16).

Определим проигрыш в точности оценки нормированного времени прихода $\hat{\eta}$ вследствие незнания центральной частоты спектра мощности v . С этой целью сравним рассеяние оценки времени прихода V_η (18) с рассеянием \tilde{V}_η оценки времени прихода $\hat{\eta}$, рассчитанным при условии, что

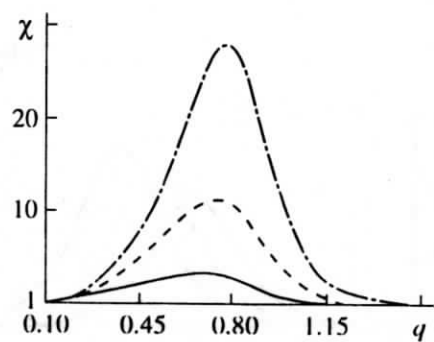


Рис. 2.

параметр κ априори известен. Рассеяние оценки $\hat{\eta}$ в соответствии с [7] имеет вид $\tilde{V}_\eta = \tilde{P}_0 D_\eta + (1 - \tilde{P}_0) m_\eta^2 / 6$, где $\tilde{P}_0 = f \int_0^\infty \exp \{ -(fx - z)^2 / 2 - \xi \exp(-x^2 / 2) / 2\pi \} dx / \sqrt{2\pi}$, $\xi = 2m_\eta \sqrt{\phi_{11}/F_{004}(0, 0, 0)}$, а значение D_η определено в (15). Проигрыш в точности оценки будем описывать зависимостью отношения $\chi = V_\eta / \tilde{V}_\eta$ от q .

На рис. 2 приведена зависимость $\chi(q)$ для следующих условий: модулирующая функция имеет колоколообразную форму: $f(x) = \exp(-\pi x^2 / 2)$, спектр мощности описывается лоренцовской кривой: $g(x) = [1 + (\pi x / 2)^2]^{-1}$, $\mu = 100$, $m_\eta = 10$. Сплошная линия соответствует $m_\kappa = 10$, штриховка – $m_\kappa = 100$, штрихпунктирная – $m_\kappa = 1000$. Анализ рис. 2 свидетельствует о том, что проигрыш в точности оценки $\hat{\eta}$ вследствие незнания κ может быть весьма большим в наиболее существенной с практической точки зрения области $0.5 < q < 1$. Причем этот проигрыш возрастает с увеличением параметра m_κ (10), определяющего число сигналов, которое может быть размещено в диапазоне частот $[\eta_{\min}; \eta_{\max}]$. При очень малых и очень больших значениях q проигрыша нет, так как при этом вероятность аномальных ошибок $P_a = 1 - P_0$ либо близка к единице, либо практически равна нулю. Нетрудно показать, что проигрыш в точности оценки нормированной центральной частоты κ вследствие незнания времени прихода принимает такие же значения. Этот проигрыш увеличивается с ростом параметра m_η , определяющего число сигналов, которые можно разместить в интервале времени $[\lambda_{\min}; \lambda_{\max}]$.

Как показано выше, оценки η_m и κ_m не коррелированы даже с учетом аномальных ошибок. Однако из рис. 2 следует, что имеет место проигрыш в точности оценки η при неизвестном κ по сравнению со случаем априори известного κ . Следовательно, существует некоторая статистическая нелинейная зависимость между этими оценками. Для того чтобы охарактеризовать эту зависимость, рассмотрим более подробно свойства

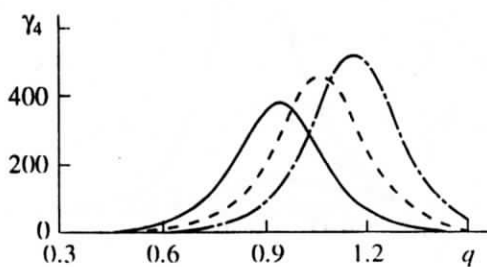


Рис. 3.

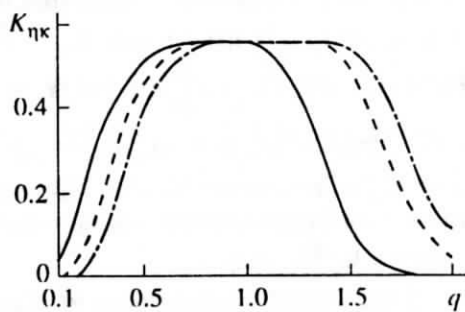


Рис. 4.

совместной плотности вероятности оценок η_m и κ_m :

$$W(\vec{\vartheta}_m | \vec{\vartheta}_0) = P_0 W_0(\vec{\vartheta}_m | \vec{\vartheta}_0) + P_a W_a(\vec{\vartheta}_m | \vec{\vartheta}_0), \text{ где}$$

$W_0(\vec{\vartheta}_m | \vec{\vartheta}_0)$ – плотность вероятности надежной оценки $\vec{\vartheta}_m$, которая в силу некоррелированности оценок η_m и κ_m распадается на произведение одномерных гауссовых плотностей вероятностей со средними значениями η_0 и κ_0 и дисперсиями D_η и D_κ соответственно; $W_a(\vec{\vartheta}_m | \vec{\vartheta}_0)$ – плотность вероятности оценки $\vec{\vartheta}_m$ при наличии только аномальных ошибок, которая является равномерной в априорной области Θ .

Маргинальная плотность вероятности $W(\eta_m | \eta_0)$ параметра η определяется посредством интегрирования по κ двухмерной плотности вероятности $W(\vec{\vartheta}_m | \vec{\vartheta}_0)$. Вычислим наиболее часто используемые кумулятивные коэффициенты распределения $W(\eta_m | \eta_0)$: коэффициент асимметрии $\gamma_3 = \mu_3/\sigma^3$ и коэффициент эксцесса $\gamma_4 = \mu_4/\sigma^4 - 3$. Здесь μ_k ($k = 3, 4$) – центральный момент k -го порядка, σ^2 – дисперсия распределения $W(\eta_m | \eta_0)$. Если $\eta_0 = (\eta_{\min} + \eta_{\max})/2$, то коэффициент асимметрии $\gamma_3 = 0$, а коэффициент эксцесса $\gamma_4 = [3P_0D_\eta^2 + (1 - P_0)m_\eta^4/80] \times [P_0D_\eta + (1 - P_0)m_\eta^2/12]^{-2} - 3$.

На рис. 3 приведена зависимость $\gamma_4(q)$ при тех же условиях и параметрах, что и на рис. 2. Видим,

что коэффициент эксцесса может принимать очень большие значения при умеренных значениях q . При малых q , когда $P_0 \approx 0$, коэффициент эксцесса $\gamma_4 \approx -6/5$ (плотность вероятности практически равномерна), а при больших q ($P_0 \approx 1$) величина $\gamma_4 \approx 0$ (плотность вероятности практически совпадает с гауссовой).

В качестве меры нелинейной статистической зависимости между оценками будем использовать коэффициент квадратичной корреляции $K_{\eta\kappa}$, так как коэффициент линейной корреляции равен нулю. Определим коэффициент квадратичной корреляции как:

$$K_{\eta\kappa} = \{ \langle [(\eta_m - \eta_0)^2 - \langle (\eta_m - \eta_0)^2 \rangle] \times \langle (\kappa_m - \kappa_0)^2 - \langle (\kappa_m - \kappa_0)^2 \rangle \rangle \} / \{ \langle [(\eta_m - \eta_0)^2 - \langle (\eta_m - \eta_0)^2 \rangle]^2 \rangle \langle [(\kappa_m - \kappa_0)^2 - \langle (\kappa_m - \kappa_0)^2 \rangle]^2 \rangle \}^{1/2}.$$

Выполнив необходимое усреднение, получим

$$K_{\eta\kappa} = \{ P_0 D_\eta D_\kappa + (1 - P_0) m_\eta^2 m_\kappa^2 / 144 - \\ - [P_0 D_\eta + (1 - P_0) m_\eta^2 / 12] [P_0 D_\kappa + (1 - P_0) m_\kappa^2 / 12] \} \times \\ \times \{ [3P_0 D_\eta^2 + (1 - P_0) m_\eta^4 / 80 - \\ - [P_0 D_\eta + (1 - P_0) m_\eta^2 / 12]^2] [3P_0 D_\kappa^2 + \\ + (1 - P_0) m_\kappa^4 / 80 - [P_0 D_\kappa + (1 - P_0) m_\kappa^2 / 12]^2 \}^{-1/2}.$$

На рис. 4 приведена зависимость коэффициента квадратичной корреляции $K_{\eta\kappa}$ от q при тех же условиях и параметрах, при которых построены кривые на рис. 2, 3. Видно, что при малых или больших значениях q , т.е. когда вероятность надежной оценки P_0 мала или наоборот близка к единице, коэффициент квадратичной корреляции стремится к нулю. При умеренных значениях q этот коэффициент может достигать значений, близких к единице.

Таким образом, несмотря на некоррелированность оценок η_m и κ_m эти оценки имеют существенную нелинейную статистическую зависимость, вследствие которой появляется проигрыш в точности оценки времени прихода за счет незнания центральной частоты (и наоборот).

Результаты получены при поддержке Российского фонда фундаментальных исследований.

СПИСОК ЛИТЕРАТУРЫ

1. Ван-Трис Г. Теория обнаружения, оценок и модуляции. Т. 3. М.: Сов. радио, 1977.

2. Кремер И.Я., Владимиров В.И., Карпухин В.И. Модулирующие помехи и прием радиосигналов / Под ред. Кремера И.Я. М.: Сов. радио, 1972.
3. Зюко А.Г., Коробов Ю.Ф. Теория передачи сигналов. М.: Связь, 1972.
4. Евтютов А.И., Митъко В.Б. Инженерные расчеты в гидроакустике. Л.: Судостроение, 1988.
5. Трифонов А.П., Парфенов В.И. // Изв. вузов. Радиоэлектроника. 1995. Т. 38. № 7. С. 3.
6. Трифонов А.П. // Теория обнаружения сигналов. М.: Радио и связь, 1986. С. 12–89.
7. Трифонов А.П., Шинаков Ю.С. Совместное различение сигналов и оценка их параметров на фоне помех. М.: Радио и связь, 1988.
8. Бакут П.А., Большаков И.А., Герасимов Б.М. и др. // Вопросы статистической теории радиолокации. Т. 1 / Под ред. Тартаковского Г.П. М.: Сов. радио, 1963.
9. Тартаковский Г.П. // Пробл. передачи информ. 1965. Т. 1. № 36. С. 56.
10. Курикиша А.А. Квантовая оптика и оптическая локация. М.: Сов. радио, 1973.